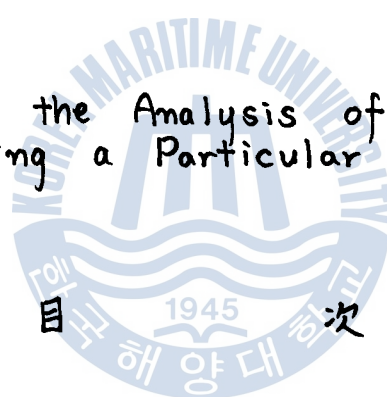


特殊函數을 이용한 보의 解析에 關する 研究

指導教授 王 之錫

金 宗權, 余 旭鐘

A study on the Analysis of Beams
Using a Particular Function

- 
1. 序論
 2. 剪斷力과 구조모멘트
 3. 特殊函數
 4. 보의 解析에의 適用
 - 4-1. 簡純보 (Simple-supported beam)
 - 4-2. 集中荷重과 等分布荷重을 同時に 받는
連續보
 5. 結論

** 焊之考略 **

- 1) 稲垣、伊藤、高張力鋼 低溫用鋼外熔接
舊報出版 P.120
- 2) 中山、松本、稻垣、建築鋼構造鐵手引 各種
熔接方法研究 大熔接研究 開拓研究
熔接學會誌 Vol. 45, (1974) No. 11, P. 1103
- 3) 菊田、荒木、鋼外木製叫 起因說 破壞外
破面形態叫 分析
Vol. 45, (1976) No. 12, P. 985
- 4) 松井、熔接欠點叫 裝配機械外 防止对策
日本學術會議 熔接研究連絡委員會
熔接 Symposium 資料 (1977). P. 1
- 5) 素燒、金子秀夫、三木木貢治、橋口隆吉、盛利良、
鐵鋼外 熔接 (1974), P. 103
- 6) 素燒、金子秀夫、三木木貢治、橋口隆吉、盛利良、
鐵鋼外 熔接 (1974), P. 107
- 7) 鐵鋼熔接部叫 破面寫真集。
黒木出版社、大版 P. 398~403, (1975).

1. 序論

보(beam)학. 가늘고 긴 棒이 適當한 方法으로 支持되고 그 軸線에 수직인 荷重(荷重) 또는 偶力荷重을 받을 때 이 棒을 일컫는다.

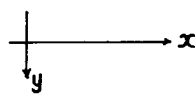
이 보의 応力이나 变形, 처짐 등을 구하는데 (以下, 解析이라 칭한다) 있어서는 저우까지 常例의 으로 면적모멘트法, 3-Moment法, 重積分法, 경침법 등의 方法들이 채용되어 왔다.

이 같은 方法들은 支承이 블과 두 세 개 정도 일 때는 筆算으로 별 어려운 없이 보의 解析을 行할 수 있지만 아주 복잡한 形態의 荷重이 作用한다든지 支承이 네 개 이상의 多支承과 遞續荷重이 보일 경우에는 筆算으로 처리하기에 너무 복잡하고 어려운 解析이 된다.

本研究에서는 하나의 特殊函數를 定義하고 實際의 函數를 利用하여 보의 解析을 行하므로써 荷重이 보境遇와 같이 弾性支承이나 여러 形態의 荷重이 보作用할 때, 또는 多數의 支承을 갖는 경우에 보의 解析이 매우 쉽게 됨을 보이고, 또한 이 特殊函數를 利用하면 사람의 손으로는 거의 풀기가 不可能한 多支承의 遞續荷重의 解析도 Computer를 利用한 行列(Matrix) 활용으로 보다 쉽게 解析할 수가 있음을 보였다.

2. 剪斷力과 굽힘모멘트.

剪斷力 V 와 굽힘모멘트 M 의 부호는 약속에 依한 것 있으므로 각 著者마다 다를 수가 있으나 本論文에서는 아래와 같이 定義한다.



coordinates system

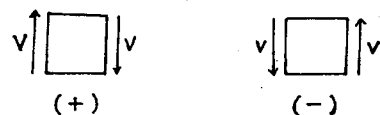
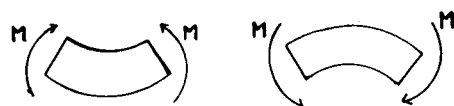


Fig. 1 Signs of Bending Moment and Shear force.

剪斷力과 弯曲 모멘트의 부호를 Fig. 1과 같이 定義하면 分布荷重 ω , 剪斷力 V , 弯曲 모멘트 M 과의 관계는 다음과 같다.

$$\frac{dv}{dx} = -\omega \quad (1)$$

$$\frac{dM}{dx} = V \quad (2)$$

$$\frac{dy}{dx^2} = -\frac{M}{EI} \quad (3)$$

여기서, EI 는 弯曲剛性係數이고 E 는 Young 係數이며, I 는 斷面二次 Moment이며, 또한 y 는 高度이다.

3. 特殊函數

다음과 같이 定義되는 函數 $f(x)$ 를 생각한다.

$$f(x) = \langle x-a \rangle = \frac{x-a+|x-a|}{2} \quad (4)$$

即, 上記 式은 깨임 팔로 안의 弯이 응의 값을 가질 경우, $f(x)$ 의 값은 0(零)이 되며 양의 값을 가질 경우는 깨암 팔로가 없는 경우와 같은 값이 된다.

即, $x=a$ 일 때 $f(x) = 0$
 $x \neq a$ 일 때 $f(x) = x-a$ 가 된다.

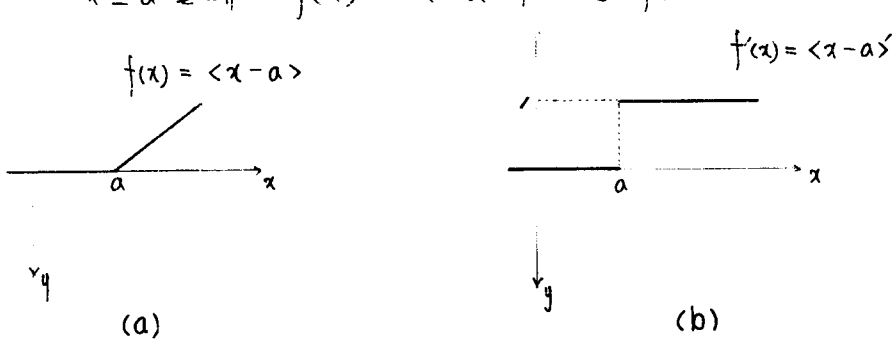


Fig. 2 The particular function and its derivative.

또한, $f'(x) = <x-a>'$ 로 表示할 수 있으며 이 函數는 Fig. 2 (b)에서 보이는 바와 같이 $x=a$ 에서 2值인 不連續函數이다.

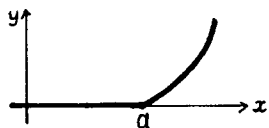
即, $\lim_{x \rightarrow a^+} <x-a>' = 1$

$\lim_{x \rightarrow a^-} <x-a>' = 0$ 이다.

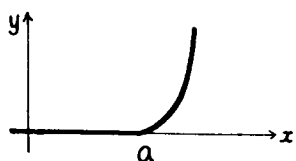
한편 이函數의積分은 다음과 같이 된다.

$$\int_{-\infty}^x (x-a)^n dx = \frac{(x-a)^{n+1}}{n+1} + C \quad ; \quad n \geq 0 \quad (5)$$

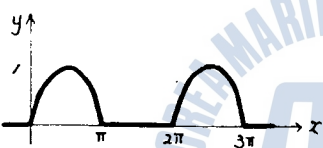
위에서, 定義한函數를 利用하여 몇 가지 形態의函數를 나타내면 Fig. 3과 같다.



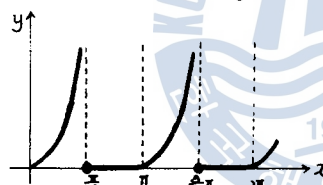
$$f(x) = (x-a)^2$$



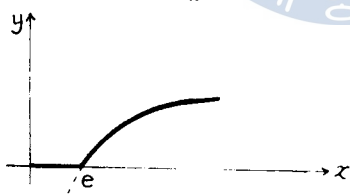
$$f(x) = (x-a)^3$$



$$f(x) = \sin x$$

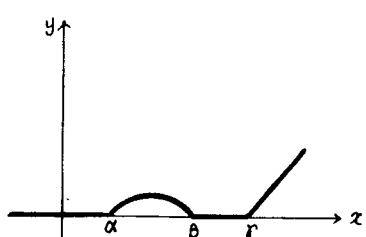


$$f(x) = \tan x$$



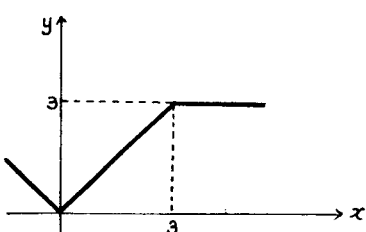
$$f(x) = \log_e x$$

(但, $x > 0$)



$$f(x) = ax^3 + bx^2 + cx + d \\ = a(x-\alpha)(x-\beta)(x-\gamma)$$

(但, $a > 0$, $\alpha < \beta < \gamma$)



$$f(x) = |x - (x-3)|$$

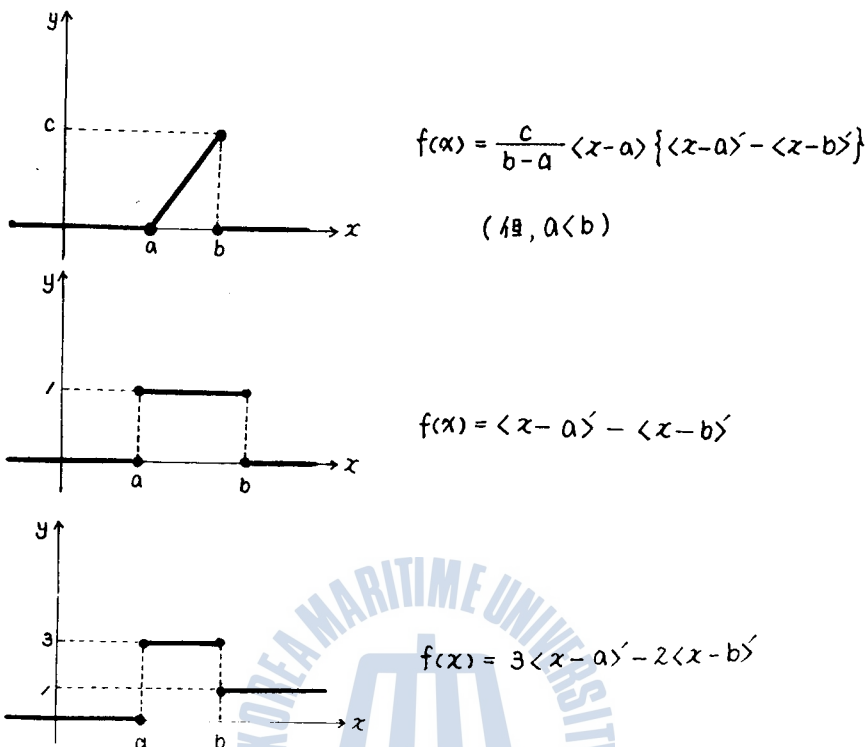


Fig. 3 Various example of particular function.

4. 보의 解析에의 適用

앞에서 定義한 函數의 特殊한 성질을 利用하면
보의 解析에도 適用시킬 수 있다.
即, 多數의 荷重이 作用하는 보의 경우, 荷重의
作用点에서 剪斷力이 不連續이 되므로 問에서 定
義한 函數를 利用하여 表示하면 解析이 簡單하여
진다.

다음에 몇 가지 예를 들어 說明하고자 한다.

4.1 素純보 (Simple-supported beam)

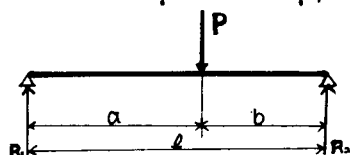


Fig. 4. Free body diagram of simple supported beam.

평형 조건 ($\Sigma F = 0$, $\Sigma M = 0$) 으로 부터,

$$R_1 = \frac{b}{l} P, \quad R_2 = \frac{a}{l} P \text{ 가 된다.}$$

따라서, $V = R_1 <x> - P<x-a> + R_2 <x-l> + C_1$

$x=0^+$ 일 때 $V=R_1$ 의 경계 조건으로 부터 $C_1=0$ 이 된다.

$$\therefore M = R_1 <x> - P<x-a> + R_2 <x-l> + C_2 = -EI \frac{d^2y}{dx^2}$$

自由端에서의 Moment는 零이므로 $C_2=0$

$$\therefore EI \frac{dy}{dx} = -\frac{R_1}{2} <x>^2 + \frac{P}{2} <x-a>^2 + C_3$$

$$EIy = -\frac{R_1}{6} <x>^3 + \frac{P}{6} <x-a>^3 + C_3x + C_4$$

$$x=0, x=l \text{ 일 때의 } 척점은 없으므로 C_4=0, C_3 = -\frac{Pb(l^2-a^2)}{6l}$$

따라서, 弹性曲線은

$$y = \frac{1}{EI} \left[-\frac{Pb}{6l} x^3 + \frac{P}{6} <x-a>^3 + \frac{Pb}{6l} (l^2-a^2)x \right]$$

한편, 一般的으로 使用하는 重積法에 依한 解析은 다음과 같다.

$$1) 0 < x < a \text{ 인 경우 ; } M_x = \frac{Pb}{l} x$$

$$2) a < x < l \text{ 인 경우 ; } M_x = \frac{Pb}{l} x - P(x-a)$$

$$\therefore 1) 0 < x < a$$

$$EI \frac{d^2y}{dx^2} = -\frac{Pb}{l} x$$

$$EI \frac{dy}{dx} = -\frac{Pb}{2l} x^2 + C_1$$

$$EIy = -\frac{Pb}{6l} x^3 + C_1 x + C_2$$

$$2) a < x < l$$

$$EI \frac{d^2y}{dx^2} = -\frac{Pb}{l} x + P(x-a)$$

$$EI \frac{dy}{dx} = -\frac{Pb}{2l} x^2 + \frac{P(x-a)^2}{2} + C_3$$

$$EIy = -\frac{Pb}{6l} x^3 + \frac{P(x-a)^3}{6l} + C_3 x + C_4$$

여기서, C_1, C_2, C_3, C_4 는 다음과의 조건에서決定할 수 있다.

$$(1) \quad x = 0, \quad y = 0 \quad (2) \quad x = l, \quad y = 0$$

$$(3) \quad x = a, \quad \frac{dy}{dx} = \frac{dy_2}{dx} \quad (4) \quad x = a, \quad y_1 = y_2$$

$$\therefore C_2 = C_4 = 0 \quad , \quad C_1 = C_3 = \frac{Pb}{6l} (l^2 - b^2)$$

$$\therefore 1) \text{에서}, \quad EIy = \frac{Pb}{6l} x (l^2 - b^2 - x^2)$$

$$2) \text{에서}, \quad EIy = \frac{Pb}{6l} \left\{ \frac{l}{b} (x-a)^3 + (l^2 - b^2)x - x^3 \right\}$$

4.2 集中荷重과 等分布荷重을 同時に 받는
連續 보.

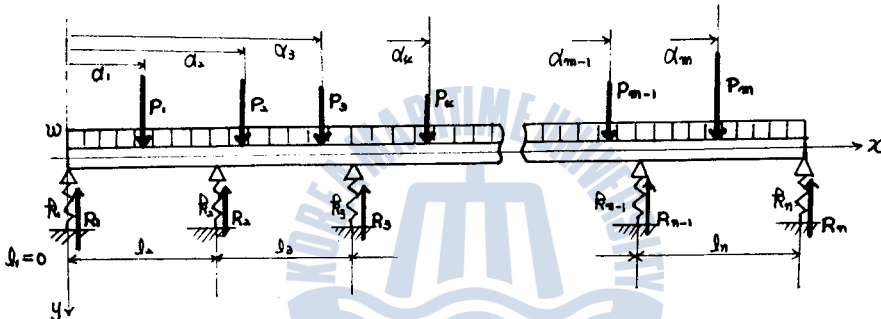


Fig. 5 Free body diagram of continuous beam.

실제의 연속 보에 있어서는 강성 지점이 아니고
彈性支承으로 위의 Fig. 5 와 같이 表示된다.

$$\frac{dv}{dx} = -\omega \text{ 이므로}$$

$$V = -\omega x + R_1 <x - l_1>' + R_2 <x - (l_1 + l_2)>' + \dots + R_m <x - (l_1 + l_2 + \dots + l_m)>' - \{P_1 <x - \alpha_1> + P_2 <x - \alpha_2> + \dots + P_m <x - \alpha_m>\} + C_1$$

$$\text{여기서, } L_k = \sum_{i=1}^k l_i \text{ 라 하면}$$

$$M = -\frac{\omega}{2} x^2 + \sum_{i=1}^m R_i <x - L_i> - \sum_{j=1}^m P_j <x - \alpha_j> + C_2$$

自由端 ($x=0$) 에서는 Moment 가 0 이므로 $C_2 = 0$

$$EI \frac{d^2y}{dx^2} = -M \text{ 이므로}$$

$$EI \frac{dy}{dx} = \frac{\omega}{6} x^3 - \sum_{i=1}^m \frac{R_i <x - L_i>^2}{2} + \sum_{j=1}^m \frac{P_j <x - \alpha_j>^2}{2} + C_3 \quad \dots \quad ①$$

$$EIy = \frac{\omega}{24} x^4 - \sum_{i=1}^m \frac{R_i <x - L_i>^3}{6} + \sum_{j=1}^m \frac{P_j <x - \alpha_j>^3}{6} + C_3 x + C_4 \quad \dots \quad ②$$

평형 조건으로 부터.

$$\Sigma F = 0 ; \sum_{i=1}^m R_i - \sum_{j=1}^m P_j - \omega L_m = 0 \quad \dots (a)$$

$$\Sigma M = 0 ; \sum_{j=1}^m P_j \cdot \alpha_j + \frac{\omega}{2} L_m^2 - \sum_{i=1}^m R_i \cdot L_i = 0 \quad \dots (b)$$

* boundary condition *

$$1) x = 0 (= L_1) ; y_{x=L_1} = \frac{R_1}{k_1}$$

$$2) x = L_2 ; y_{x=L_2} = \frac{R_2}{k_2}$$

⋮

$$n) x = L_m ; y_{x=L_m} = \frac{R_m}{k_m}$$

即, 式 (a), (b) 와 積界條件 1) ~ n) 으로 부터
未知數 $C_3, C_4, R_1, R_2, \dots, R_m$ 을 구할 수 있다.

$$1) x = L_1 \text{ 일때} . \quad y = \frac{R_1}{k_1}$$

$$\therefore y = \frac{C_4}{EI} = \frac{R_1}{k_1} \quad \therefore C_4 = \frac{EI R_1}{k_1}$$

$$2) x = L_2 \text{ 일때} . \quad y = \frac{R_2}{k_2}$$

$$y = \frac{1}{EI} \left\{ \frac{\omega}{24} L_2^4 - \frac{R_1}{6} L_2^3 + \sum_{j=1}^m P_j (L_2 - \alpha_j)^3 + C_3 L_2 + \frac{R_1}{k_1} EI \right\} = \frac{R_2}{k_2}$$

$$\therefore C_3 = - \frac{EI}{L_2} \left\{ \frac{R_1}{k_1} - \frac{R_2}{k_2} \right\} - \frac{L_2^3}{6} \left\{ \frac{\omega}{4} L_2 - R_1 \right\} - \frac{1}{6 L_2} \sum_{j=1}^m P_j (L_2 - \alpha_j)^3$$

$$\therefore EI y = \frac{\omega}{24} x^4 - \sum_{i=1}^m \frac{R_i (x - L_i)^3}{6} + \sum_{j=1}^m \frac{P_j (x - \alpha_j)^3}{6}$$

$$- \left\{ \frac{EI}{L_2} \left(\frac{R_1}{k_1} - \frac{R_2}{k_2} \right) + \frac{L_2^3}{6} \left(\frac{\omega L_2}{4} - R_1 \right) + \sum_{j=1}^m \frac{P_j (L_2 - \alpha_j)^3}{6 L_2} \right\} x + \frac{R_1 \cdot EI}{k_1}$$

$$= \frac{\omega}{24} x^4 - \frac{\omega}{24} L_2^3 x - \frac{x}{6 L_2} \sum_{j=1}^m P_j (L_2 - \alpha_j)^3 + \sum_{j=1}^m \frac{P_j (x - \alpha_j)^3}{6}$$

$$- R_1 \left\{ \frac{(x)^3}{6} + \frac{EI}{L_2 \cdot k_1} x - \frac{L_2^3}{6} x - \frac{EI}{k_1} x \right\} - R_2 \left\{ \frac{(x - L_2)^3}{6} - \frac{EI x}{L_2 \cdot k_2} \right\} - \sum_{i=3}^m \frac{R_i (x - L_i)^3}{6}$$

위의 式으로 부터,

$$f(x) = \left\{ \frac{\omega}{24} x^4 - \frac{\omega}{24} L_2^3 x - \frac{x}{6 L_2} \sum_{j=1}^m P_j (L_2 - \alpha_j)^3 + \frac{1}{6} \sum_{j=1}^m P_j (x - \alpha_j)^3 \right\} \frac{1}{EI}$$

$$f(x) = \left\{ \frac{(x)^3}{6} - \frac{EI}{L_2 \cdot k_1} x + \frac{L_2^3}{6} x + \frac{EI}{k_1} x \right\} \frac{1}{EI}$$

$$g(x) = \left\{ \frac{1}{6} (x - L_2)^3 - \frac{EI}{L_2 \cdot k_2} x \right\} \frac{1}{EI}$$

라 두면 弹性曲線은 아래와 같이 나타내어 진다.

$$y = -\sum_{i=3}^m \frac{R_i(x-L_i)^3}{6EI} + R_1 \cdot f(x) + R_2 \cdot g(x) + h(x)$$

따라, 경계조건을 使用하면,

3) $x = L_3$ 일 때 . $y = \frac{R_3}{k_3}$

$$y_{x=L_3} = h(L_3) + R_1 \cdot f(L_3) + R_2 \cdot g(L_3) - \sum_{i=3}^m \frac{R_i(x-L_3-L_3)^3}{6EI} = \frac{R_3}{k_3}$$

(以下, $h(L_i)$, $f(L_i)$, $g(L_i)$ 는 편의상 h_i , f_i , g_i 로 표기)

4) $x = L_4$ 일 때 . $y = \frac{R_4}{k_4}$

$$y_{x=L_4} = h_4 + R_1 \cdot f_4 + R_2 \cdot g_4 - \frac{R_3}{6EI} (L_4 - L_3)^3 = \frac{R_4}{k_4}$$

5) $x = L_5$ 일 때 . $y = \frac{R_5}{k_5}$

$$y_{x=L_5} = h_5 + R_1 \cdot f_5 + R_2 \cdot g_5 - \frac{R_4}{6EI} (L_5 - L_3)^3 - \frac{R_4}{6EI} (L_5 - L_4)^3 = \frac{R_5}{k_5}$$

6) $x = L_6$ 일 때 . $y = \frac{R_6}{k_6}$

$$y_{x=L_6} = h_6 + R_1 \cdot f_6 + R_2 \cdot g_6 - \frac{1}{6EI} \{ R_3 (L_6 - L_3)^3 + R_4 (L_6 - L_4)^3 + R_5 (L_6 - L_5)^3 \} = \frac{R_6}{k_6}$$

:

:

:

$n-1)$ $x = L_{n-1}$ 일 때 . $y = \frac{R_{n-1}}{k_{n-1}}$

$$y_{x=L_{n-1}} = h_{n-1} + R_1 \cdot f_{n-1} + R_2 \cdot g_{n-2} - \frac{1}{6EI} \{ R_3 (L_{n-1} - L_3)^3 + R_4 (L_{n-1} - L_4)^3 + \dots + R_{n-1} (L_{n-1} - L_{n-1})^3 \} = \frac{R_{n-1}}{k_{n-1}}$$

$n)$ $x = L_n$ 일 때 . $y = \frac{R_n}{k_n}$

$$y_{x=L_n} = h_n + R_1 \cdot f_n + R_2 \cdot g_n - \frac{1}{6EI} \{ R_3 (L_n - L_3)^3 + R_4 (L_n - L_4)^3 + \dots + R_{n-1} (L_n - L_{n-1})^3 + R_n (L_n - L_n)^3 \} = \frac{R_n}{k_n}$$

또한, 평형조건에서

$$\Sigma F = 0 ; R_1 + R_2 + \dots + R_n = \sum_{j=1}^m P_j + \omega L_m$$

$\therefore -h_1 = \sum_{j=1}^m P_j + \omega \cdot L_m$ 이라고 두고,

$$\Sigma M = 0 ; R_1 \cdot L_1 + R_2 \cdot L_2 + \dots + R_m \cdot L_m = \sum_{j=1}^m P_j \cdot \alpha_j + \frac{\omega}{2} L_m^2$$

$\therefore -R_2 = \sum_{j=1}^m P_j \cdot \alpha_j + \frac{\omega}{2} L_m^2$ 이라고,

$$(a) 式 은 \quad R_1 + R_2 + \cdots + R_m + P_1 = 0 \quad \cdots (a)' \\ (b) 式 은 \quad R_1 \cdot L_1 + R_2 \cdot L_2 + \cdots + R_m \cdot L_m + P_2 = 0 \quad \cdots (b)'$$

그러므로, 위의 (a)', (b)' 式과 경계조건으로 부터
얻은 3) ~ n) 가지의 式으로 2원一次 연립방정식
을 세울 수 있으며, 2차 정방행렬을 이용해서 R_1, R_2, \dots, R_m 을
구할 수 있다.

| f_1 | f_2 | f_3 | f_4 | f_5 | \vdots | f_n | R_1 | P_1 |
|-----------|-----------|------------------------------------|------------------------------------|------------------------------------|--------------------------------|------------------|----------|----------|
| L_1 | L_2 | L_3 | L_4 | L_5 | \vdots | L_{n-1} | L_n | R_2 |
| f_1 | g_3 | $-\frac{1}{k_3}$ | 0 | 0 | \vdots | 0 | 0 | \vdots |
| f_2 | g_4 | $-\frac{(L_4-L_3)^3}{6EI}$ | $-\frac{1}{k_4}$ | 0 | \vdots | 0 | 0 | \vdots |
| f_3 | g_5 | $-\frac{(L_5-L_4)^3}{6EI}$ | $-\frac{(L_5-L_3)^3}{6EI}$ | $-\frac{1}{k_5}$ | \vdots | 0 | 0 | \vdots |
| \vdots | \vdots | \vdots | \vdots | \vdots | \vdots | \vdots | \vdots | \vdots |
| f_i | g_i | $-\frac{(L_i-L_{i-1})^3}{6EI}$ | $-\frac{(L_i-L_{i-2})^3}{6EI}$ | \vdots | \vdots | 0 | 0 | \vdots |
| \vdots | \vdots | \vdots | \vdots | \vdots | \vdots | \vdots | \vdots | \vdots |
| f_{n-2} | g_{n-2} | $-\frac{(L_{n-2}-L_{n-1})^3}{6EI}$ | $-\frac{(L_{n-2}-L_{n-3})^3}{6EI}$ | $-\frac{1}{k_{n-2}}$ | \vdots | 0 | 0 | \vdots |
| f_{n-1} | g_{n-1} | $-\frac{(L_{n-1}-L_n)^3}{6EI}$ | $-\frac{(L_{n-1}-L_{n-2})^3}{6EI}$ | $-\frac{(L_{n-1}-L_{n-3})^3}{6EI}$ | $-\frac{1}{k_{n-1}}$ | 0 | \vdots | \vdots |
| f_n | g_n | $-\frac{(L_n-L_{n-1})^3}{6EI}$ | $-\frac{(L_n-L_{n-2})^3}{6EI}$ | $-\frac{(L_n-L_{n-3})^3}{6EI}$ | $-\frac{(L_n-L_{n-4})^3}{6EI}$ | $-\frac{1}{k_n}$ | R_m | $-P_2$ |

* 別表 1. 에 첨부된 Computer Program 은 위의
一般的인 경우의 解法이며, 出力판 面은 간단한 4
支点 連續分布 等荷重이 作用하고 있을 때의
두 가지 경우를 Data 입력해서 얻은 값이다.

5. 結論

이상의 考察을 통해, 特殊函數를 利用하여 보의
解析에 効率的인 方法을 제시했다.
특히 第 4.2 의 경우와 같이 荷重關係가 복잡할
때 더욱 有効性은 앞에서 서술한 바이다.
그러나, 앞서 考察된 내용은 斷面이 일정한 境
遇에 局限시킬 수 밖에 없음을 밝혀주는 바
이다.
이 문제는 실제 構造物에 직접 適用시킬 수
없는 가장 큰 限界로 여겨지며 따라서 이 문제

대한 충분한 研究가 계속 이루 어져야 할 것으로
생각되어 수학적 재 용이를 통해선 이 장벽을
넘을 수 있을 것으로 생각된다.

그리고, 앞서 다른 褪性連率의 多支承 보의 解析
에 대한 一例는 逐일斷面 連續보에는 상당히 有
用할 것으로 여겨진다.

• 參考文獻

- 1) S. H. Crandall, N. C. Dahl & T. J. Lardner,
"An Introduction to the Mechanics of Solids"
- 2) S. P. Timoshenko & D. H. Young,
"Elements of Strength of Materials"
- 3) 宋 森弘, 丑君 材料力学, 東明社, 서울, 1979
- 4) 李 東煥, 張 東一, 應用力學, 文佑社, 서울, 1981

* 別表 1.

ISN STNO. SOURCE STATEMENT

```
C      PROGRAMED BY M4 THE MEMBER OF SMESG
1      DIMENSION X(50),X1(50),X2(50),P(50),ALPA(50),KK(50)
2      DIMENSION V1(15,15),V2(15,15),V3(50),V4(50),V5(50),V6(50)
3      DIMENSION V7(50),V8(50),SUM1(50),H(50),F(50),G(50)
4      DIMENSION A(20,20),B(20,20),HH(50),HG(50)
5      REAL I, KK
6      READ(7,10) NN,M,W,F,D,N
7      10 FORMAT(2I5,3F10.0,I5)
8      IF(NN.EQ.0) GO TO 11
9      READ(7,15) (X(I),I=1,NN)
10     READ(7,15) (KK(I),I=1,NN)
11     READ(7,15) (P(I),I=1,M)
12     READ(7,15) (ALPA(I),I=1,M)
13     15 FORMAT(8F10.0)
14     L=NN-1
15     DO 200 I=1,L
16     J=I+1
17     X1(I)=X(J)-X(I)
18     200 CONTINUE
19     DO 211 I=1,NN
20     211 SUM1(I)=0
21     SUM2=0
22     SUM3=0.
23     SUM4=0.
24     IF(M.EQ.0) GO TO 100
25     99 DO 205 I=1,NN
26     DO 205 J=1,M
27     V1(I,J)=X(I)-ALPA(J)
28     IF(V1(I,J).LT.0) V1(I,J)=0
29     V2(I,J)=P(J)*V1(I,J)**3/6.0
30     205 SUM1(I)=SUM1(I)+V2(I,J)
31     DO 210 I=1,M
32     V3(I)=X(2)-ALPA(I)
33     IF(V3(I).LT.0) V3(I)=0
34     V4(I)=V3(I)**3
35     210 SUM2=SUM2+V4(I)
```

```
C      FOR H(1),H(2)**  
36      DO 206 I=1,M  
37      SUM3=SUM3+P(I)  
38      SUM4=SUM4+P(I)*ALPA(I)  
39      206 CONTINUE  
C      FOR COEFFICIENTS **  
40      100 II=3,1415926*D**4/64.0  
41      Z0=E*II  
42      Z1=Z0/(X(2)*KK(1))  
43      Z2=X(2)**2/6.0  
44      Z3=Z0/KK(1)  
45      DO 220 I=1,NN  
46      V5(I)=X(I)-X(2)  
47      IF(V5(I).LT.0) V5(I)=0  
48      220 CONTINUE  
C      FOR H(I),F(I),G(I) **  
49      H(1)=-(SUM3+W*X(NN))  
50      H(2)=-(SUM4+W*X(NN)**2/2.0)  
51      DO 215 I=1,NN  
52      F(I)=(X(I)**3/6.0+Z1*X(I)-72*X(I)-Z3)/Z0  
53      G(I)=(V5(I)**3/6.0-Z1*X(I))/Z0  
54      215 CONTINUE  
C      FOR A-MATRIX **  
55      DO 225 I=1,2  
56      HG(I)=-H(I)  
57      DO 225 J=1,NN  
58      IF(I.EQ.1) A(I,J)=1  
59      IF(I.EQ.2) A(I,J)=X(J)  
60      225 CONTINUE  
61      DO 226 I=3,NN  
62      DO 226 J=1,2  
63      IF(J.EQ.1) A(I,J)=F(I)  
64      IF(J.EQ.2) A(I,J)=G(I)  
65      226 CONTINUE  
66      DO 227 I=3,NN  
67      H(I)=(-W*X(I)**4/24.0+W*X(2)**3*X(I)/24.0+SUM2*X(I)/(6.0*X(2))-  
1SUM1(I))/Z0  
68      HG(I)=-H(I)  
69      DO 227 J=3,NN  
70      IF(I.EQ.J) A(I,J)=1.0/KK(I)  
71      IF(I.LT.J) A(I,J)=0  
72      IF(I.GT.J) A(I,J)=(X(I)-X(J))**3/(6.0*Z0)  
73      227 CONTINUE  
74      WRITE(8,48)  
75      48 FORMAT(//10X,'A-MATRIX')  
76      DO 228 I=1,NN  
77      228 WRITE(8,49) (A(I,J),J=1,NN)  
78      49 FORMAT(10X,10E15.6)  
79      WRITE(8,50)  
80      50 FORMAT(10X,'H(I)',20X,'F(I)',20X,'G(I)')  
81      WRITE(8,55) (H(I),F(I),G(I),I=1,NN)  
82      55 FORMAT(5X,E15.6,9X,E15.6,9X,E15.6)  
83      CALL INVERS(A,NN,HG,N,DET)  
84      DO 230 I=1,NN  
85      HH(I)=HG(I)  
86      DO 230 J=1,NN  
87      B(I,J)=A(I,J)  
88      230 CONTINUE  
89      WRITE(8,56)  
90      56 FORMAT(10X,'A-INVERSE')  
91      DO 235 I=1,NN  
92      235 WRITE(8,57) (B(I,J),J=1,NN)  
93      57 FORMAT(10X,10E15.6)  
94      WRITE(8,60)  
95      60 FORMAT(//,10X,'HH(I)')  
96      WRITE(8,65) (HH(I),I=1,NN)  
97      65 FORMAT(10X,10E15.6)  
98      GO TO 9  
99      11 STOP  
100     END
```

ISN STNO. SOURCE STATEMENT

```
1      SUBROUTINE INVERS(A,N,R,M,DET)
2      C THIS PROGRAM IS FOR MATRIX INVERSION AND SIMULTANEOUS
3      C LINEAR EQUATIONS
4      C DIMENSION A(20,20),B(20,20),IPVOT(30),INDEX(30,2),PIVOT(30)
5      C EQUIVALENCE(IROW,JROW),(ICOL,JCOL)
6      C FOLLOWING 3 STATEMENTS FOR INITIALIZATION
7      C DET=1.0
8      DO 17 J=1,N
9      17 IPVOT(J)=0
10     DO 135 I=1,N
11     C FOLLOWING 12 STATEMENTS FOR SEARCH FOR PIVOT ELEMENT
12     T=0
13     DO 9 J=1,N
14     IF(IPVOT(J).EQ.1) GO TO 9
15     DO 23 K=1,N
16     IF(IPVOT(K)-1) 43,23,81
17     43 IF(ABS(T).GE.ABS(A(J,K))) GO TO 23
18     IROW=J
19     ICOL=K
20     T=A(J,K)
21     23 CONTINUE
22     9 CONTINUE
23     IPVOT(ICOL)=IPVOT(ICOL)+1
24     C FOLLOWING 15 STATEMENTS TO PUT PIVOT ELEMENT ON DIAGONAL
25     IF(IROW.EQ.ICOL) GO TO 109
26     73 DET=-DET
27     DO 12 L=1,N
28     T=A(IROW,L)
29     A(IROW,L)=A(ICOL,L)
30     12 A(ICOL,L)=T
31     IF(M.LE.0) GO TO 109
32     33 DO 2 L=1,M
33     T=B(IROW,L)
34     B(IROW,L)=B(ICOL,L)
35     2 B(ICOL,L)=T
36     109 INDEX(I,1)=IROW
37     INDEX(I,2)=ICOL
38     PIVOT(I)=A(ICOL,ICOL)
39     DET=DET*B(IVOT(I))
40     C FOLLOWING 6 STATEMENTS TO DIVIDE PIVOT ROW BY PIVOT ELEMENT
41     A(ICOL,ICOL)=1.0
42     DO 205 L=1,N
43     205 A(ICOL,L)=A(ICOL,L)/PIVOT(I)
44     IF(M.LE.0) GO TO 347
45     66 DO 52 L=1,M
46     52 B(ICOL,L)=B(ICOL,L)/PIVOT(I)
47     C FOLLOWING 10 STATEMENTS TO REDUCE NON-PIVOT ROWS
48     347 DO 135 L1=1,N
49     IF(L1.EQ.ICOL) GO TO 135
50     21 T=A(L1,ICOL)
51     A(L1,ICOL)=0
52     DO 89 L=1,N
53     89 A(L1,L)=A(L1,L)-A(ICOL,L)*T
54     IF(M.LE.0) GO TO 135
55     18 DO 68 L=1,M
56     68 B(L1,L)=B(L1,L)-B(ICOL,L)*T
57     135 CONTINUE
58     222 DO 3 I=1,N
59     L=N-I+1
60     IF(INDEX(L,1).EQ.INDEX(L,2)) GO TO 3
61     19 JROW=INDEX(L,1)
62     JCOL=INDEX(L,2)
63     DO 549 K=1,N
64     T=A(K,JROW)
65     A(K,JROW)=A(K,JCOL)
66     A(K,JCOL)=T
67     549 CONTINUE
68     3 CONTINUE
69     81 RETURN
70     END
```

(1)

A-MATRIX

| | | | |
|---------------|---------------|---------------|---------------|
| 0.100000E 01 | 0.100000E 01 | 0.100000E 01 | 0.100000E 01 |
| 0.000000E 00 | 0.400000E 02 | 0.900000E 02 | 0.150000E 03 |
| 0.140133E-01 | -0.221766E-01 | 0.100000E-01 | 0.000000E 00 |
| 0.356099E-01 | -0.340568E-01 | 0.558771E-03 | 0.100000E-01 |
| H(I) | F(I) | G(I) | |
| -0.450000E 03 | -0.100000E-01 | 0.000000E 00 | |
| -0.337500E 05 | -0.194018E-08 | -0.100000E-01 | |
| -0.116120E 00 | 0.140133E-01 | -0.221766E-01 | |
| -0.963588E 00 | 0.356099E-01 | -0.340568E-01 | |
| A-INVERSE | | | |
| 0.533230E 00 | -0.473549E-02 | -0.116931E 02 | 0.177094E 02 |
| 0.472516E 00 | -0.282991E-02 | -0.215140E 02 | -0.480295E 01 |
| 0.300646E 00 | 0.360226E-03 | 0.686752E 02 | -0.354680E 02 |
| -0.306392E 00 | 0.720517E-02 | -0.354680E 02 | 0.225616E 02 |

HH(I)

| | | | |
|--------------|--------------|--------------|--------------|
| 0.958374E 02 | 0.109996E 03 | 0.121247E 03 | 0.122920E 03 |
|--------------|--------------|--------------|--------------|

(2)

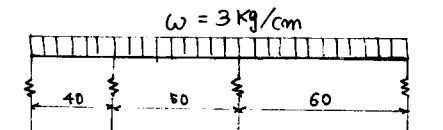
A-MATRIX

| | | | |
|---------------|---------------|---------------|---------------|
| 0.100000E 01 | 0.100000E 01 | 0.100000E 01 | 0.100000E 01 |
| 0.000000E 00 | 0.100000E 03 | 0.200000E 03 | 0.300000E 03 |
| 0.255214E-01 | -0.174131E-01 | 0.100000E-01 | 0.000000E 00 |
| 0.820856E-01 | -0.930477E-02 | 0.258690E-02 | 0.100000E-01 |
| H(I) | F(I) | G(I) | |
| -0.900000E 03 | -0.100000E-01 | 0.000000E 00 | |
| -0.135000E 06 | -0.388035E-08 | -0.999999E-02 | |
| -0.270072E 01 | 0.255214E-01 | -0.174131E-01 | |
| -0.151101E 02 | 0.820856E-01 | -0.930477E-02 | |
| A-INVERSE | | | |
| 0.166881E 00 | -0.907660E-03 | -0.126191E 01 | 0.105417E 02 |
| 0.781882E 00 | -0.256421E-02 | -0.265776E 02 | -0.126193E 01 |
| 0.935595E 00 | -0.214860E-02 | 0.569409E 02 | -0.291014E 02 |
| -0.884357E 00 | 0.562047E-02 | -0.291014E 02 | 0.198215E 02 |

HH(I)

| | | | |
|--------------|--------------|--------------|--------------|
| 0.183537E 03 | 0.266679E 03 | 0.266031E 03 | 0.183753E 03 |
|--------------|--------------|--------------|--------------|

(1)의 경우



$$k = 100 \text{ kg/cm}$$

(2)의 경우

